

کوروش شفیعی^{*}

^۱دانشیار دانشکده مهندسی شیمی - پردیس دانشکده های فنی - دانشگاه تهران

^۲دانش آموخته کارشناسی ارشد مهندسی شیمی - پردیس دانشکده های فنی - دانشگاه تهران

(تاریخ دریافت ۱۷/۱۰/۸۴ ، تاریخ دریافت روایت اصلاح شده ۱۱/۹/۸۵ ، تاریخ تصویب ۲۵/۱/۸۶)

Vi Pr Re

$$Nu = 0.935 * Re^{0.62} * Pr^{0.33} * Vi^{1.82}$$

% /

ضریب انتقال حرارت جابجایی - مخازن همزدہ - سیالات غیر نیوتونی - روابط تجربی - محلول

زاندان

ضروری است. لذا در چنین سیستم هایی عمل انتقال حرارت به منظور گرمایش و سرمایش از مهمترین عوامل جهت کنترل کیفی و کمی عملکرد این فرآیندها می باشد. در این تحقیق مطالعه تجربی برای دستیابی به یک رابطه مفید به منظور پیش بینی ضریب انتقال حرارت جابجایی یک سیال غیر نیوتونی در یک مخزن دو جداره مجهز به همزن مکانیکی و بافل غیر استاندارد انجام شده است.

آنچه عموما در تحقیقات قبلی صورت گرفته است استفاده از سیالات بسیار ویسکوز به همراه همزنهای روبان مارپیچی بوده است. در سال ۲۰۰۰ آقایان Rai ، Devotta و Rao با استفاده از این نوع همزن و با استفاده از سیالات نیوتونی و غیرنیوتونی توانستند رابطه ای جهت تعیین ضریب انتقال حرارت جابجایی در مخازن همزن دار ارائه نمایند[۱]. تنها فعالیتی که بر روی همزن با توربین زاویدار و سیال غیر نیوتونی انجام گردیده است و در آن

سیستم سیالات غیر نیوتونی در مخازن مجهز به همزن مکانیکی در فرآیندهای شیمیایی کاربرد فراوان دارد. مواردی نظیر ساخت ژل های صنعتی، لاک های تجاری و انفحاری، راکتورهای واکنش های پلیمریزاسیون، بیوراکتورها و غیره مثالهای از فرآیندهای مربوطه می باشند. گرمایش یا سرمایش محتویات مخازن همزدہ به منظورهای مختلفی صورت می گیرد. این انتقال حرارت می تواند جهت حفظ رزیم دمایی مشخصی در راکتورهای با واکنش گرمازا یا گرمگیر باشد، و یا بمنظور کاهش گرانروی جهت انتقال، اختلاط یا انحلال صورت گیرد. در فرآیند ساخت بسیاری از چسب ها، ژل های صنعتی، لاک های سلولزی یا انفحاری از سیستم گرمایش به منظور کاهش گرانروی جهت اختلاط مواد با یکدیگر و یکنواختی آنها استفاده می شود. در بعضی از راکتورهای واکنش پلیمریزاسیون گرمازا نیز انتقال حرارت بمنظور حفظ شرایط هم دما در واکش و حفظ شرایط کمی و کیفی آن

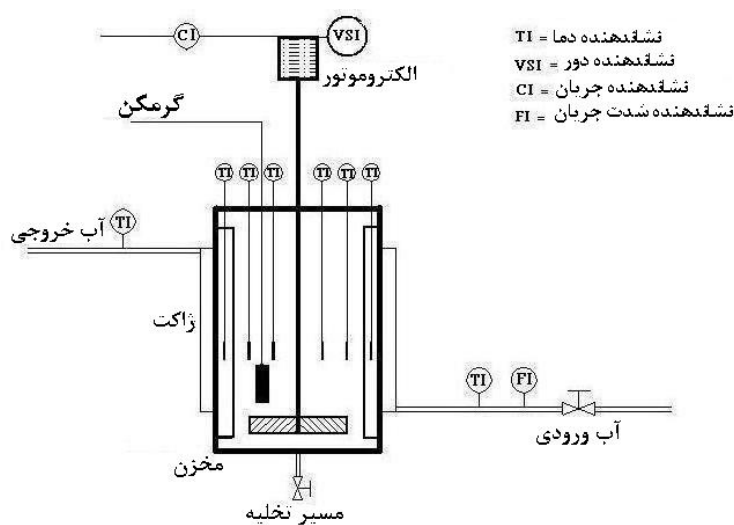
میلیمتر در نظر گرفته شده است . جداره بیرونی مخزن دوجداره بوسیله عایق حرارتی از نوع پشم شیشه پوشیده شده است. بکارگیری این عایق به منظور ایجاد شرایط بی دررو و تامین صحت و دقت در داده های آزمایشگاهی بوده است.

مخزن استوانه ای مجهز به همزن توربینی زاویه دار با تیغه های متصل شده می باشد. جهت چرخش همزن به گونه ای می باشد که مخلوط را در امتداد محور و به طرف بالا انتقال می دهد . تعداد تیغه های همزن چهار و زاویه قرار گیری تیغه ها نسبت به افق ۴۵ درجه است . قطر همزن ، پهنا و ضخامت تیغه ها به ترتیب ۱۲ ، ۳,۶ و ۰,۶ سانتیمتر می باشند . مکان قرار گیری همزن درون مخزن در مرکز و در فاصله ۷ سانتیمتری از کف مخزن می باشد (شکل ۲). این همزن یکی از انواع همزن های محوری می باشد . اگر چه در این سیستم بخصوص یعنی اختلاط سیال غیرنیوتینی عموما از همزن های لنگری جهت ایجاد آشفتگی در محتویات مخزن استفاده می شود و بسیاری از روابط تجربی ارائه شده برای استفاده از این نوع همزن می باشد ولی برای استفاده از تمام همزن ها با جریان محوری (با در نظر گرفتن شکل هندسی مخزن و میزان کمی گرانزوی سیال و دیگر پارامترهای موثر) می تواند مفید باشد .

نیز بجای استفاده از دو جداره از لوله های خنک کن استفاده شده است، تحقیق Yu Shengyao و Wang Kai [۲] می باشد . این محققان با استفاده از مدل نرخ تنفس بدست آمده از تحقیقات خود، و با بکار گیری انواع مختلف همزن ها و شرایط گرمایشی یا سرمایشی مختلف مانند دوجداره و لوله های مارپیچی اطلاعات ارزشمندی بدست آورده اند.

در تحقیق حاضر تلاش شده است تا با انتخاب سیستمی متفاوت رابطه جدیدی استخراج گردد. در این تحقیق، از محلول های زانتان با ترکیب درصد های متفاوت (۰,۲، ۰,۳ و ۰,۵ درصد)، که محلول های غیر نیوتینی ای با گرانزوی نسبتا پائین می باشند و یک مخزن همزن دار با همزنی از نوع توربینی زاویه دار به همراه چهار عدد بافل عمودی غیر استاندارد استفاده شده است .

کلیه آزمایشات انتقال حرارت سیال غیر نیوتینی در مخزنی از جنس آهن گالوانیزه با قطر داخلی ۲۹ سانتیمتر و ارتفاع ۵۰ سانتیمتر انجام گرفته است. کف مخزن تحت و در وسط آن مجرایی برای عبور محتویات داخل مخزن بعد از اتمام هر آزمایش در نظر گرفته شده است (شکل ۱). ارتفاع دوجداره بکار گرفته شده ۳۵ سانتی متر و فضای لازم برای عبور مایع خنک کننده از داخل آن ۸



دما با دمای دیواره قرائت شده در متوسط گیری مقایسه و مورد استفاده واقع می‌گردید. ترموموکوپلهای بکار گرفته شده در این تجهیز طبق استاندارد - BSEN 60751 - ۱۹۹۶ کالیبره شده و دارای خطای 0.1°C ± می‌باشد. به علت ثابت زمانی نسبتاً زیاد این ترموموکوپلهای برسی پدیده در شرایط پایا از نوسانات لحظه‌ای دمای قرائت شده صرفنظر شده است.

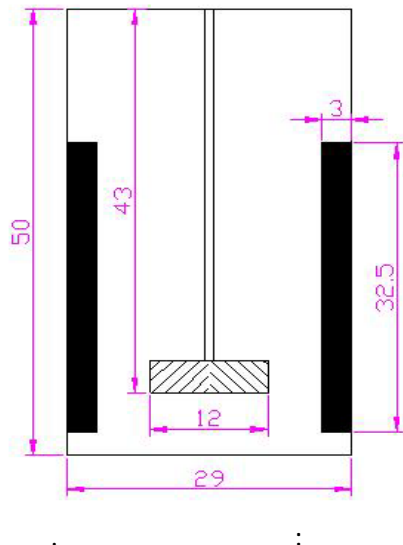
دماهای آب ورودی و خروجی جداره نیز توسط دو دماسنجد چیوه ای کالیبره شده با دقیقه ۱/۰ درجه سانتی گراد اندازه‌گیری و به صورت دستی نیز ثبت می‌شوند. گرمایش محلول توسط یک گرمکن برقی لوله‌ای با توان ۲۰۰۰ وات انجام می‌گردد.

جهت انجام آزمایشات از مقدار مشخصی (حدود ۲۸ لیتر) از محلول های انتخاب شده (محلول زانتان با درصد های ترکیب مختلف) استفاده می‌شود . دور همزن موثر ترین عاملی است که بررسی می شود و لذا هر کدام از محلول های تهیه شده در ۵ دور مختلف (۲۰۰ ، ۳۰۰ ، ۴۰۰ ، ۵۰۰ و ۶۰۰ دور بر دقیقه) مورد آزمایش قرار گرفتند و دمای نقاط مختلف سیال ، دیواره مخزن ، آب خنک کن ورودی و خروجی اندازه‌گیری می‌گردید. علت استفاده از زانتان و ساخت محلولهای آن خواص ویسکوالاستیک مناسب آن بود. این محلول ها با غلظتها مختلف در داخل خود مخزن همزدہ تهیه می‌گردید. بدین گونه که با تعیین مقدار حجم مشخصی از آب و توزین پودر زانتان محلولهای ۰،۵٪ ، ۰،۳٪ و ۰،۲٪ وزنی از این ماده تهیه می‌گردد.

جهت تعیین خواص رئولوژیکی محلول های تهیه شده که بخش مهمی از محاسبات بود از یک دستگاه رئومتر MCR300 استفاده گردید. و رابطه توانی نرخ تنفس و تنفس برشی برای هر یک از محلول ها تهیه گردید. خلاصه نتایج مربوط به خواص رئولوژیکی این محلول ها در جدول (۱) آورده شده است.

الگوئی که در این تحقیق در نظر گرفته شد بر این مبنای بود که تمامی گروه های بدون بعد به همان صورت سیالات نیوتنی نوشته شده و محاسبه گردند ، تنها چگونگی محاسبه گرانروی تفاوت داشت . جهت محاسبه گرانروی ظاهری از رابطه ای که توسط Wang Kai و Yu Shengyao [۲] بدست آمده است و در رابطه ۱ ارائه شده است استفاده می شود (رابطه ۱).

توان لازم برای دوران همزن از یک الکتروموتور DC با قدرت یک اسب بخار تامین می گردد و سرعت همزن از صفر تا ۱۴۰۰ دور بر دقیقه قابل تغییر می باشد . سرعت دورانی همزن در صفحه نمایش دیجیتالی نشان داده می شود و جهت چرخش همزن نیز توسط کلید متصل به موتور الکتریکی قابل تنظیم و تغییر می باشد. بمنظور جلوگیری از تولید گردابه اجباری در سرعتهای چرخشی بالای همزن از اتصال عمودی و متقاضن چهار بافل مستقیم غیر استاندارد به دیواره مخزن استفاده شده است. پهنای بافل ۳ سانتیمتر و فاصله انتهای بافل از کف مخزن ۲،۵ سانتیمتر در نظر گرفته شده است. این فاصله برای حرکت توده سیال در کف مخزن مفید می باشد.



برای اندازه‌گیری دمای توده محلول و دیواره مخزن از پنج ترموموکوپل که در مکانهای مختلف مخزن و دیواره قرار گرفته اند استفاده شده است و دمایها در یک نمایشگر دیجیتالی مشخص می‌شوند. جهت اطمینان از دقیقت و صحیت نتایج دما در نقاط مختلف ، از یک ترمومتر Pt100 قابل حمل استفاده می‌گردید که عدد آن بر روی نشانگر دیجیتالی نمایش داده می شد . بدین گونه که علاوه بر ثبت نتایج نمایشگر دیجیتالی برای دیواره ۲ عدد از ترموموکوپلهای جهت اندازه گیری دمای دیواره به جداره مخزن چسبانده شده بودند) با استفاده از سوراخ موجود روی درب مخزن ترمومتر قابل حمل روی جداره مخزن چسبانده می شد و پس از اختصاص زمان مناسب جهت پایا شدن دما ، دمای دیواره قرائت می شد. این

جدول ۱: خلاصه نتایج خواص رئولوژیکی محلولهای زانتان.

ردیف	Material	k	n
۱	Xanthan 0.5% solution	$k(pa.s) = 7.679 * 10^{-5} e^{\frac{2793}{T(k)}}$	$n = 0.39865$
۲	Xanthan 0.3% solution	$k(pa.s) = 3.272 * 10^{-4} e^{\frac{2270}{T(k)}}$	$n = 0.41015$
۳	Xanthan 0.2% solution	$k(pa.s) = 5.893 * 10^{-5} e^{\frac{2440}{T(k)}}$	$n = 0.5118$

$$q = h \cdot A \cdot \Delta T$$

(۵)

که ΔT اختلاف بین دمای توده محلوط و سطح داخلی دیواره مخزن می باشد . دمای توده محلوط از متوسط حسابی دماهای ثبت شده در حالت پایا محاسبه می شود . سطح داخلی انتقال حرارت بر حسب m^2 و h ضریب انتقال حرارت جابجایی محلوط داخل مخزن با سطح داخلی بر حسب $\frac{w}{m^2 \cdot C}$ می باشد. مقدار حرارتی که به آب جاری در جداره منتقل می شود از رابطه ۶ محاسبه می گردد :

$$q = w_j C_p (T_{j0} - T_{ji}) \quad (6)$$

که w_j دمی جرمی آب ورودی به ژاکت، C_p ظرفیت گرمای ویژه متوسط آب می باشد . در حالت پایا دو معادله مذکور برابر می باشند و مقدار h با توجه به این موازنه حرارتی تعیین می گردد . با تغییر مقادیر پارامترهای سرعت دوران همزن و غلظت سیال غیر نیوتونی مقادیر مختلف h و تاثیر این پارامترها بر روی آن مشخص می گردد .

تأثیر دور همزن

با توجه به انتخاب دور های ۲۰۰ ، ۳۰۰ ، ۴۰۰ ، ۵۰۰ و ۶۰۰ دور بر دقیقه برای همزن اعداد رینولدزی از حدود ۳۰۰ تا حدود ۶۶۰۰۰ بدست می آید که البته این ارقام متأثر از تغییرات گرانزوی محلولهای مختلف نیز می باشد . افزایش عدد رینولدز (یا دور همزن) باعث افزایش عدد ناسلت (یا ضریب انتقال حرارت) می شود .

$$\mu_a = K 0.4^{(n-1)/n} N^{[2-f(2-n)](n-1)/n} \quad (1)$$

از رابطه ۱ می توان برای تعریف اعداد بدون بعد جهت معادله انتقال حرارت استفاده نمود :

$$Re^* = \frac{d^2 N \rho}{\mu_a} = \frac{d^2 N \rho}{K} 0.4^{(n-1)/n} N^{[2-f(2-n)](n-1)/n} \quad (2)$$

$$Pr^* = \frac{C_p \mu_a}{k} = \frac{C_p K}{k} 0.4^{(n-1)/n} N^{[2-f(2-n)](n-1)/n} \quad (3)$$

با داشتن روابط فوق محاسبه گروه های بدون بعد و انجام محاسبات دیگر بسیار ساده خواهد بود . الگویی که برای بدست آوردن رابطه تجربی نهایی در این تحقیق مورد استفاده قرار گرفت به صورت رابطه ۴ بود .

$$Nu = C * Re^a * Pr^b * Vi^d \quad (4)$$

که در آن Vi نسبت گرانزوی در دمای توده سیال به گرانزوی در دمای دیواره داخلی مخزن یا همان عدد تصحیح گرانزوی می باشد .

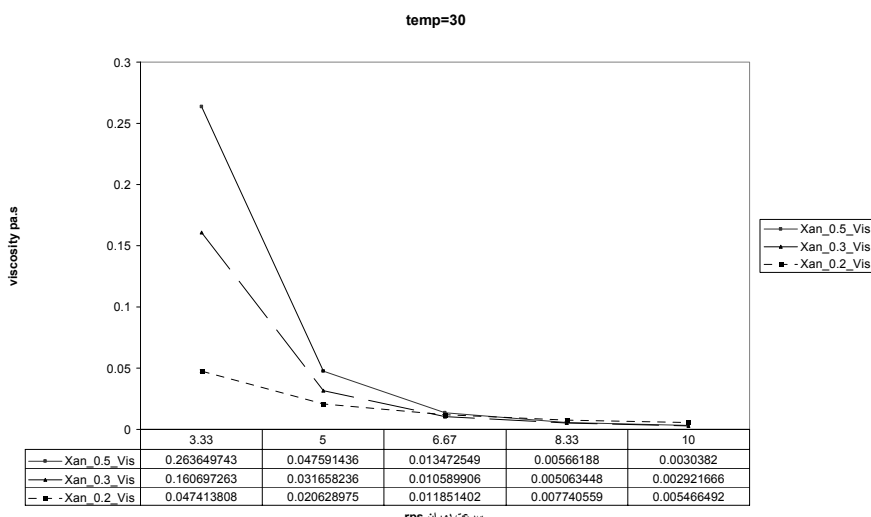
بررسی نتایج آزمایشگاهی

کلیه آزمایشات انتقال حرارت در حالت پایا به همراه حرارت فراهم شده توسط گرمکن الکتریکی برای محلوط داخل مخزن در تعادل با آب سرد جاری در جداره انجام می شود .

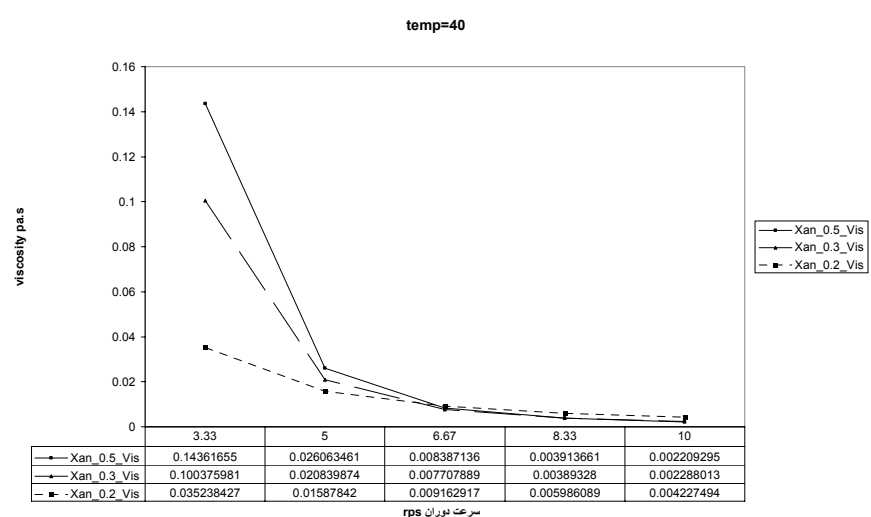
برای محاسبه ضریب انتقال حرارت از داده های تجربی، از موازنه حرارتی بین محلوط داخل مخزن و آب خنک کننده جاری در جداره در حالت پایا استفاده می شود . مقدار حرارتی که از محلوط داخل مخزن از طریق جابجایی اجباری به سیال درون جداره منتقل می شود از رابطه ۵ محاسبه می شود :

منحنی ها دیده می شود گرانروی محلول زانتان ۰،۵٪ اگر چه در دور های دوران پائین (یا نرخ تنش پائین) بیشتر از محلول زانتان ۰،۳٪ و این نیز بزرگتر از محلول زانتان ۰،۲٪ می باشد ، ولی در دورهای بالای همزن (یا نرخ تنش بالا) موضوع کاملا فرق می کند . این پدیده بدلیل رابطه توانی گرانروی ووابستگی آن به نرخ تنش می باشد و این تغییرات تاثیر خود را در مقادیر ضریب انتقال حرارت محاسبه شده و یا عدد ناسلت محاسباتی خود را نشان داده است . تاثیر دور همزن بر مقدار ضریب انتقال حرارت جابجای اجباری در جدول (۲) آمده است . نمودارهای داده های بدست آمده که نشانگر افزایش ضریب انتقال حرارت با افزایش دور همزن می باشد در منحنی های (۳)، (۴) و (۵) ارائه است .

تنها نکته ای که قابل توجه می باشد تفاوت رفتار سیالات غیر نیوتنی با سیالات نیوتنی می باشد . از آنجایی که گرانروی سیالات غیر نیوتنی وابسته به نرخ تنش یا دور همزن و نیز وابسته به ضریب و توان رابطه توانی است ، لذا عدد گرانروی ، عددی چندان قابل پیش بینی نخواهد بود . در رابطه ۱ مشاهده می شود که گرانروی تابعیتی پیچیده از N دور همزن دارد . و علاوه بر این در رابطه ۴ وابستگی h به گرانروی غیرخطی و لذا در مجموع تغییرات گرانروی با سرعت دوران و دما از پیچیدگی خاصی برخوردار است . جهت مشاهده بهتر رفتار گرانروی در مورد سه محلول انتخاب شده منحنی های (۱) و (۲) که نشانگر تغییرات گرانروی هر کدام از آنها با دور همزن های انتخاب شده ، در دمای ثابت می باشد ارائه شده است . همانگونه که در



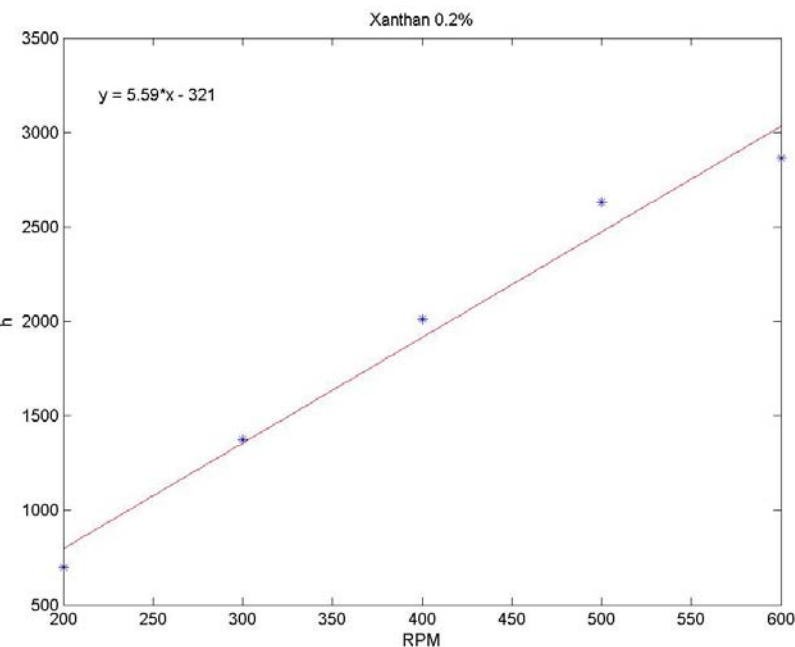
شکل ۱ : تغییرات گرانروی با دور همزن برای هر سه محلول در دمای ۳۰ درجه سانتیگراد.



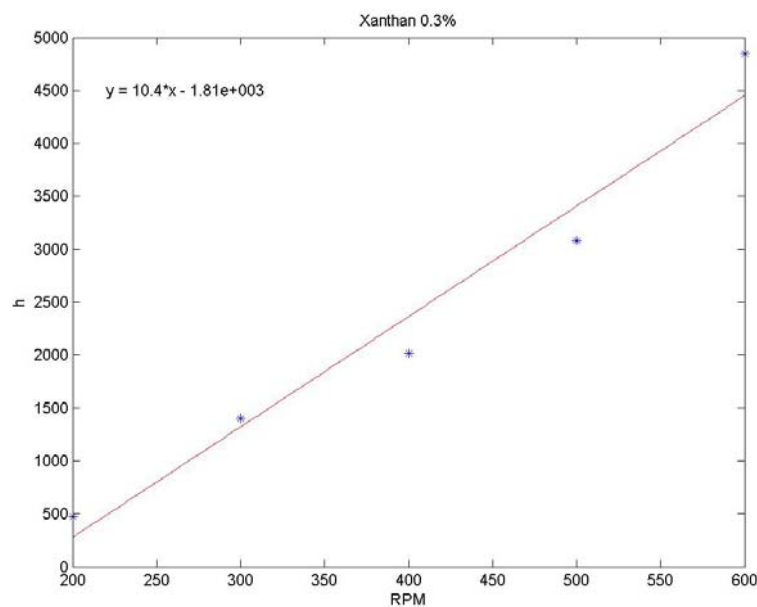
شکل ۲ : تغییرات گرانروی با دور همزن برای هر سه محلول در دمای ۴۰ درجه سانتیگراد.

جدول ۲: ضریب انتقال حرارت محاسبه شده برای محلول ها در دور همزن های مختلف.

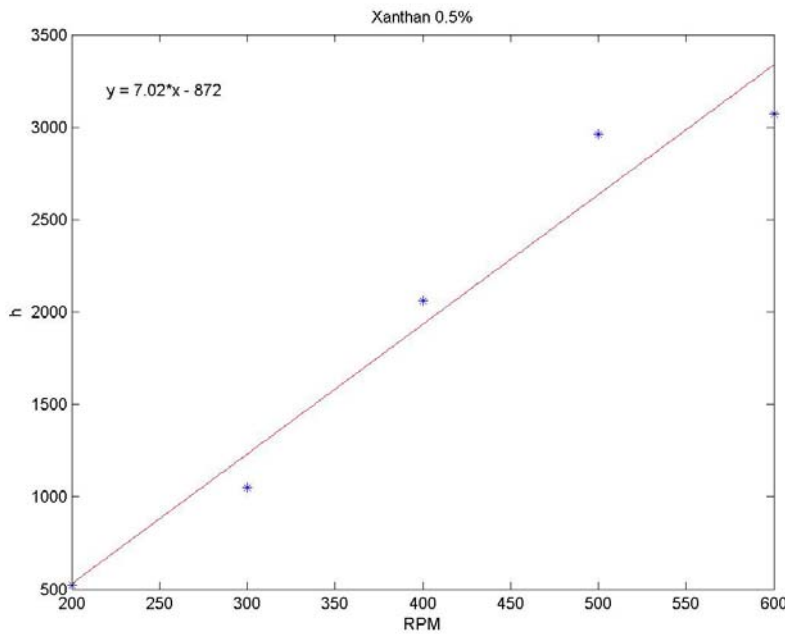
200	300	400	500	600	RPM $h \left(\frac{W}{m^2 K} \right)$	Xanthan 0.2%
697.38	1371.9	2012.1	2629.5	2863.1	$h \left(\frac{W}{m^2 K} \right)$	
200	300	400	500	600	RPM	Xanthan 0.3%
473.44	1402.4	2018.7	3081.5	4847.4	$h \left(\frac{W}{m^2 K} \right)$	
200	300	400	500	600	RPM	Xanthan 0.5%
521.99	1049.8	2062.6	2963.3	3073.1	$h \left(\frac{W}{m^2 K} \right)$	



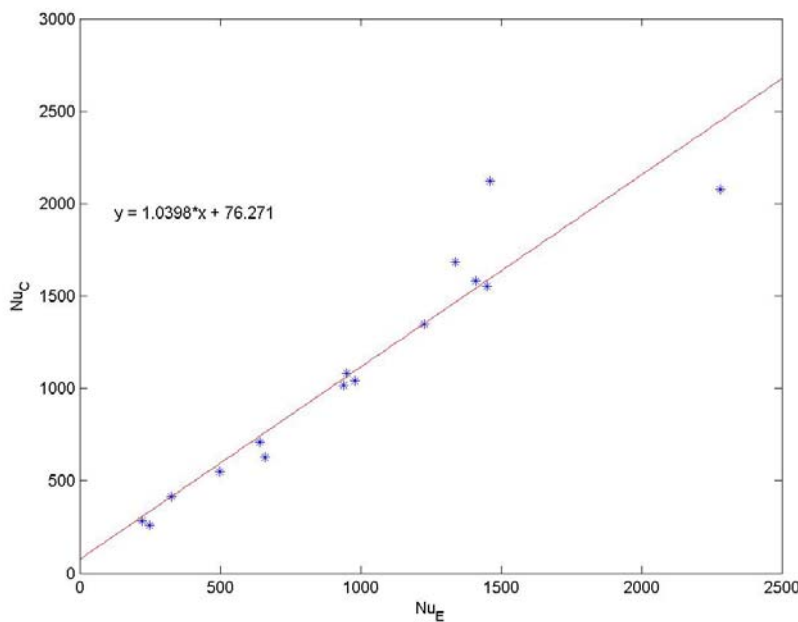
شکل ۳: ضریب انتقال حرارت محاسبه شده برای محلول زانتان ۰.۲٪ در دور همزن های مختلف.



شکل ۴: ضریب انتقال حرارت محاسبه شده برای محلول زانتان ۰.۳٪ در دور همزن های مختلف.



شکل ۵: ضریب انتقال حرارت محاسبه شده برای محلول زانتان ۰,۵٪ در دور همزن های مختلف.



شکل ۶: مقایسه مقادیر عدد ناسلت تجربی با مقادیر محاسبه شده آن از معادله ۷.

ناسلت در سیستم سیالات غیر نیوتونی (محلولهای زانتال) فراهم گردید بطوریکه تاثیر هر یک از پارامترهای مورد بحث بر روی ضریب انتقال حرارت جابجایی در رابطه نهایی ارائه شده است. این رابطه با استفاده از روش حداقل مجموع مربعات خطاهای و کمک گرفتن از نرم افزار Mathlab 6.5 بدست آمده است. در مراجع مختلف توان گروه های بدون بعد بصورت تجربی ثابت فرض شده است [۳-۷]. در این تحقیق با بررسی کلیه حالت های ممکن در ثابت نگاه

نتیجه گیری

تأثیر سرعت دوران همزن و تغییرات دمایی حاصل از گرمایش یا سرمایش که منجر به تغییر در خواص رئولوژیکی سیال ویسکوالاستیک می شود در آزمایشات و مقادیر ضریب انتقال حرارت دیده شده است.

با استفاده از نتایج حاصل از آزمایشات و ارتباط داده های تجربی بدست آمده با یکدیگر رابطه ای برای عدد

فهرست علائم

(r/sec) :	N
: قطر همزن	D,d
: قطر مخزن	T,t
: فاصله همزن از کف مخزن	C , Hi
: طول تیغه همزن	L
: عدد پرانتل	Pr
: عدد رینولدز	Re
: نسبت گرانروی در دمای توده به دمای سطح داخلی دیواره	Vi
: عدد ناسلت	Nu
: ضریب انتقال حرارت جابجای	h
: توان رابطه توانی	n
: ضریب رابطه توانی	K
: گرانروی ظاهری	μ_a
: گرانروی	μ
: گرانروی در دمای دیواره	μ_w
: چگالی	ρ
: ظرفیت حرارتی	C_p
: ضریب هدایت حرارتی	k
: نرخ تنش	γ
: دبی جرمی	w_j

داشتند بعضی از ضرائب رابطه و متغیر فرض کردن آن بهترین تطبیق داده ها در حالتی دیده شد که توان گروه بدون بعد Pr برابر $0,33$ فرض شود . با درنظر گرفتن این موضوع رابطه ۷ بعنوان رابطه نهایی تعیین گردید :

$$Nu = 0.935 Re^{0.62} Pr^{0.33} Vi^{1.82} \quad (7)$$

رابطه فوق انطباق خوبی با داده های تجربی بدست آمده دارد . میزان این انطباق $90,78\%$ می باشد . مقایسه بین مقادیر عدد ناسلت بدست آمده از آزمایشات و مقادیر محاسبه شده از رابطه تجربی فوق در شکل (۶) نمایش داده شده است . محدوده عدد رینولدز معتبر برای این رابطه از 300 تا 66000 می باشد . همانگونه که مشاهده می گردد برای توان عدد گرانروی برخلاف مقادیر معمول $0/14$ یا $0/18$ عدد $1/82$ بدست آورده شده است . این امر مشخصاً وابستگی بیشتر ضریب انتقال حرارت به ویسکوزیته سیال و تعییرات آنرا بیان می کند . در پایان لازم به ذکر است که با توجه به دقت ترموموپلهای و سایر تجهیزات اندازه گیری به کار گرفته شده میزان خطای یافته های تجربی در حد $\pm 5\%$ تخمین زده می شود .

مراجع

- 1 - Rai, C. L., Devotta, I. and Rao, P.G. (2000). *J. Chem. Eng.*, Vol. 79, PP. 73-77.
- 2 - Wang Kai and Yu Shengyao. (1989). *J. Chem. Eng. Sci.*, Vol. 44, PP. 33-40.
- 3 - Ayazi Shamlou, P. and Edwards, M. F. (1986). *J. Chem Engng Sci.*, Vol. 8, PP. 1957-1986.
- 4 - Ishibashi, K. and Yamanaka, A. (1972). *J. Chem Engng*, Jap. Vol. 12, PP. 230-236.
- 5 - Bourne, J. R. (1981). *J. Chem. Eng. Sci.*, Vol. 36, PP. 347-354.
- 6 - Mitzushina, T.R. et al. (1970). *Kagaku kogaku*, Vol. 34, PP.1205.
- 7 - Pollard, J. and Kantyaka, T. A. (1969). *T. Instn. Chem Eng.*, Vol. 47, PP. T21-T27.